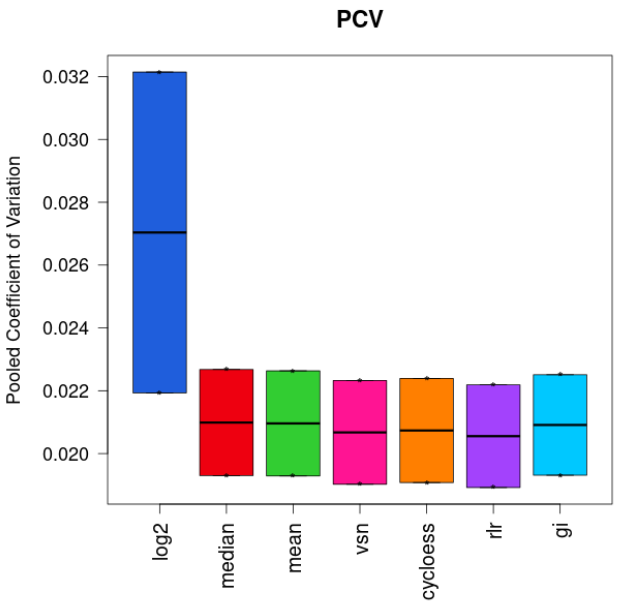
PCV
Pooled Coefficient of Variation
0.032
0.030
0.028
0.026
0.024
0.022
0.020
log2
median
mean
vsn
cycloess
rlr
gi

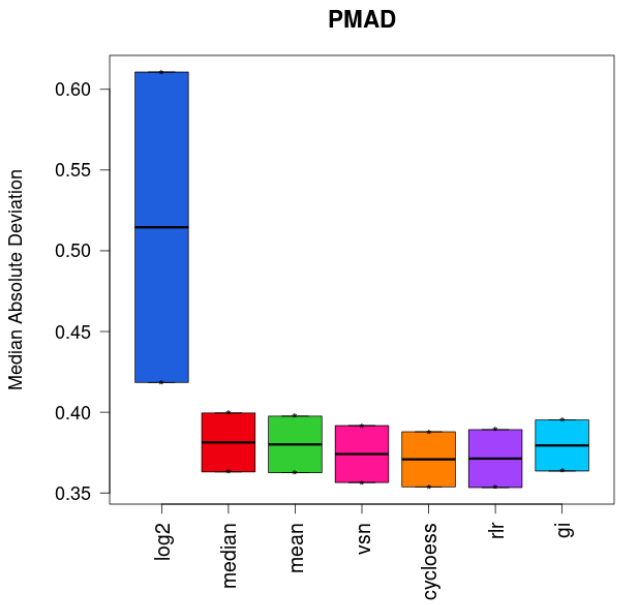
PMAD
Median Absolute Deviation
0.60
0.55
0.50
0.45
0.40
0.35
log2
median
mean
vsn
cycloess
rlr
gi

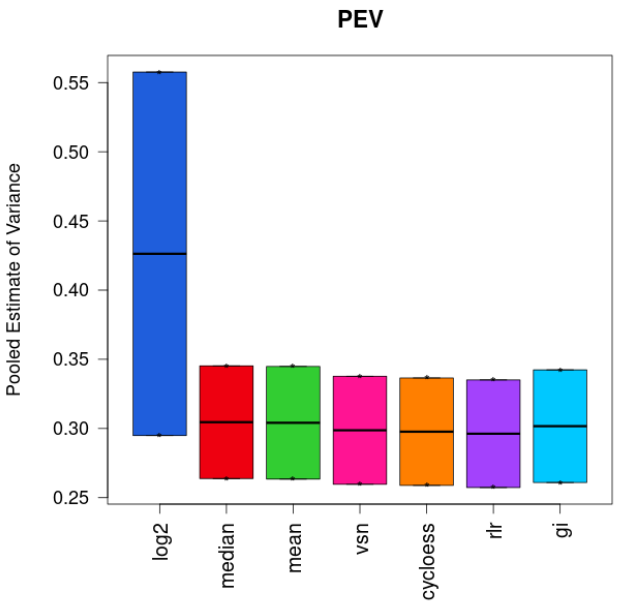
PEV
Pooled Estimate of Variance
0.55
0.50
0.45
0.40
0.35
0.30
0.25
log2
median
mean
vsn
cycloess
rlr
gi

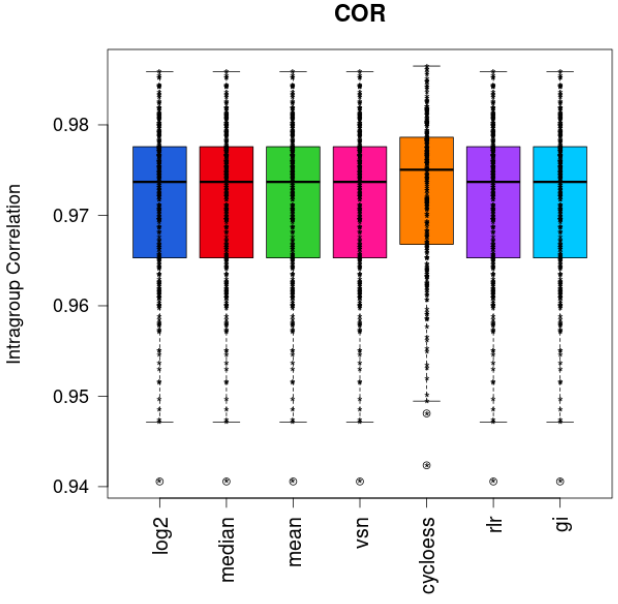
COR
Intragroup Correlation
0.98
0.97
0.96
0.95
0.94
log2
median
mean
vsn
cycloess
rlr
gi

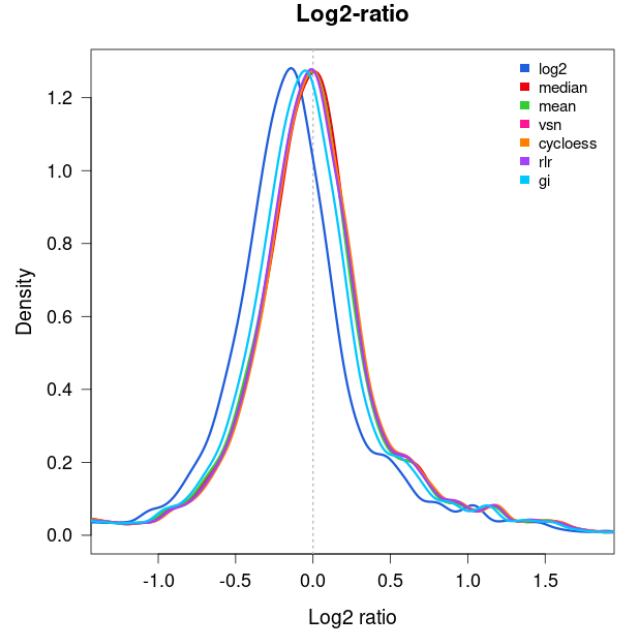
Log2-ratio
Density
1.2
1.0
0.8
0.6
0.4
0.2
0.0
-1.0
-0.5
0.0
0.5
1.0
1.5
Log2 ratio
log2
median
mean
vsn
cycloess
rlr
gi

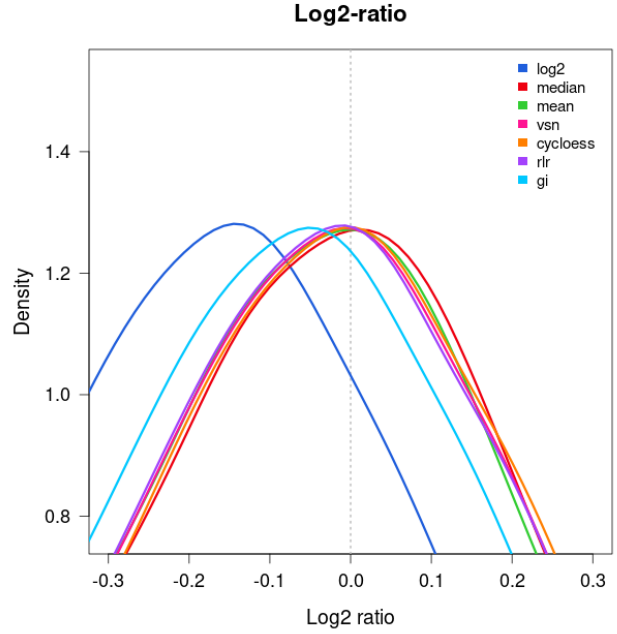
Log2-ratio
Density
1.4
1.2
1.0
0.8
-0.3
-0.2
-0.1
0.0
0.1
0.2
0.3
Log2 ratio
log2
median
mean
vsn
cycloess
rlr
gi

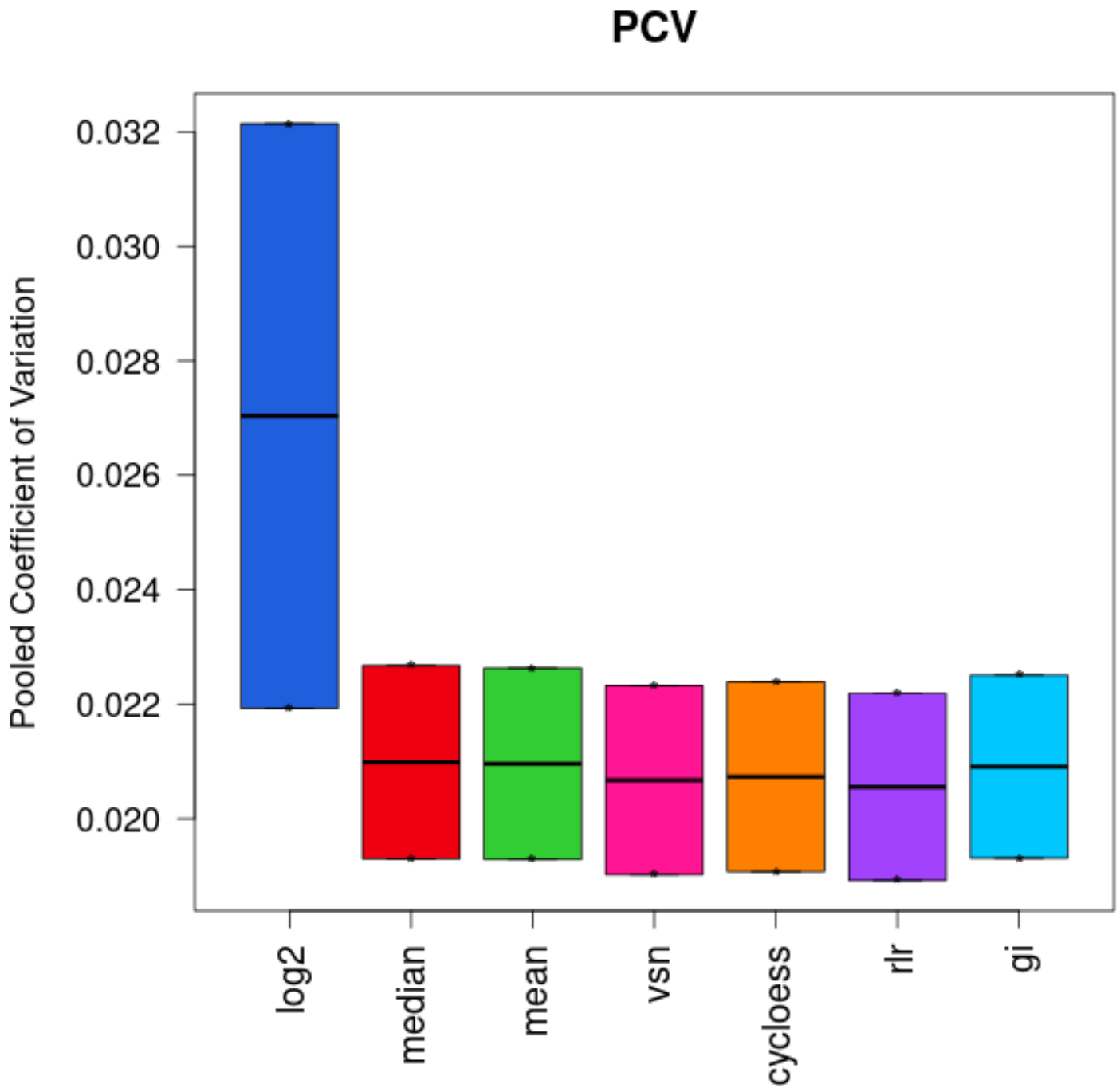
PCV
Pooled Coefficient of Variation
0.032
0.030
0.028
0.026
0.024
0.022
0.020
log2
median
mean
vsn
cycloess
rlr
gi

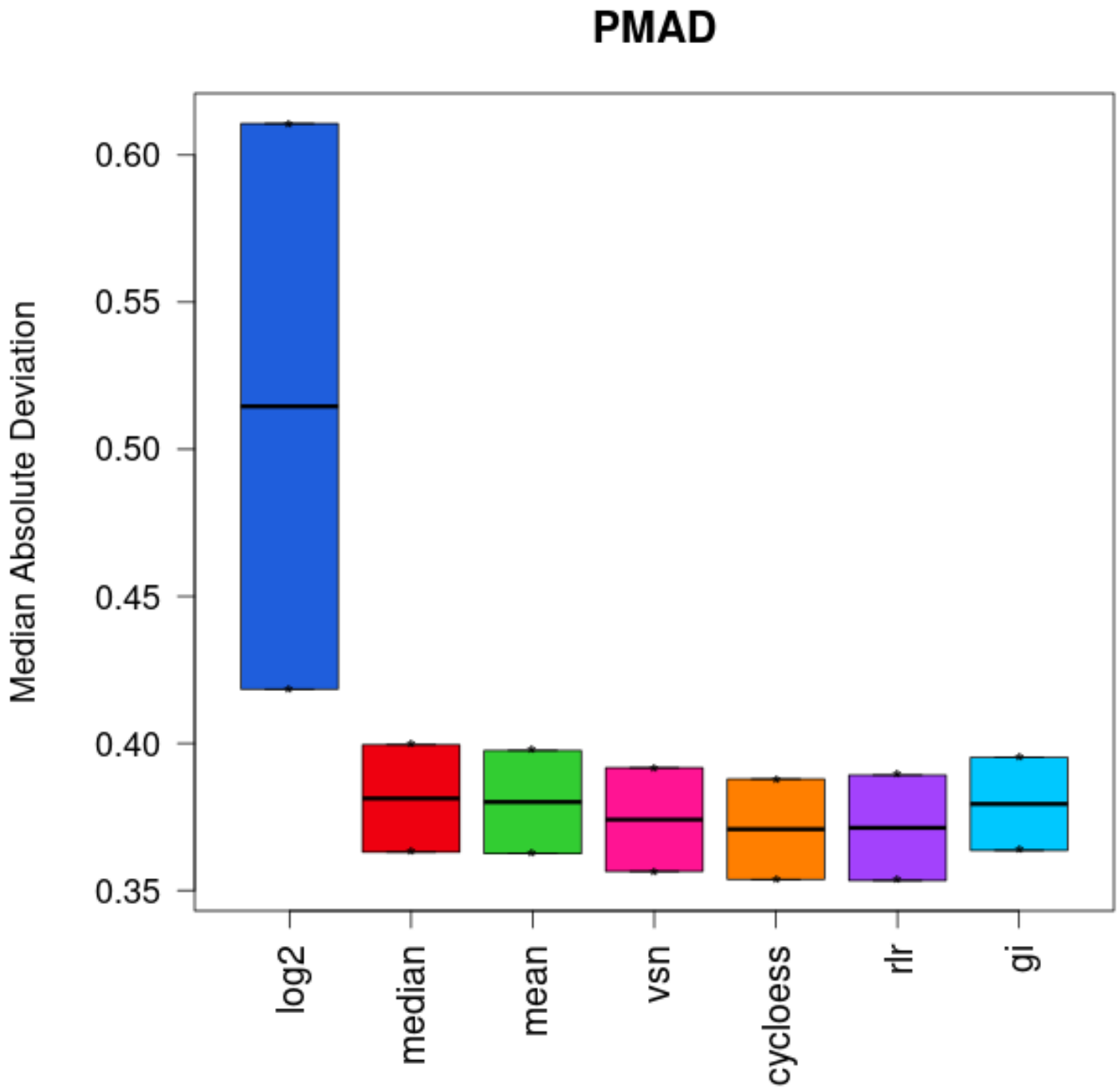
PMAD
Median Absolute Deviation
0.60
0.55
0.50
0.45
0.40
0.35
log2
median
mean
vsn
cycloess
rlr
gi

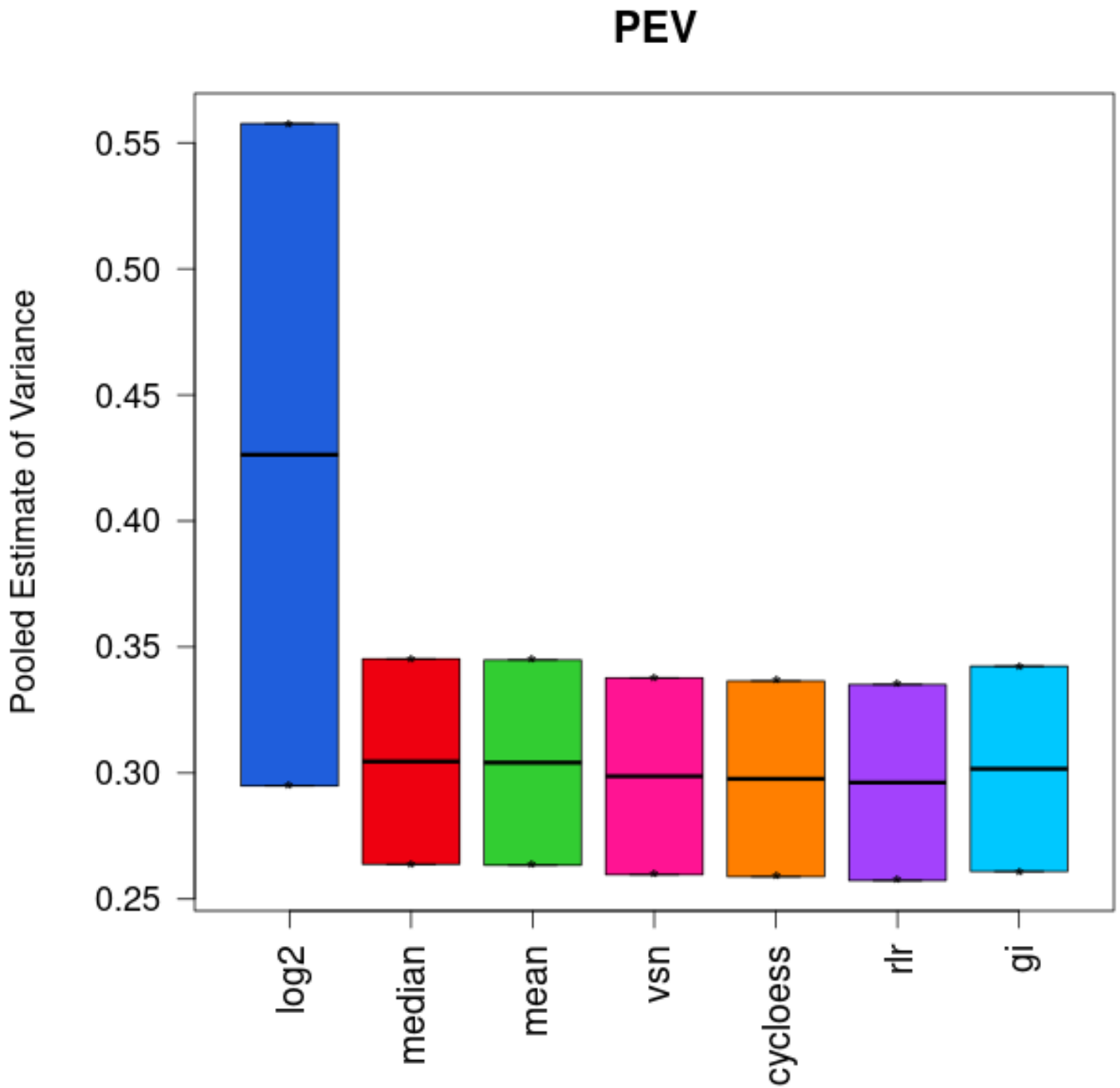
PEV
Pooled Estimate of Variance
0.55
0.50
0.45
0.40
0.35
0.30
0.25
log2
median
mean
vsn
cycloess
rlr
gi

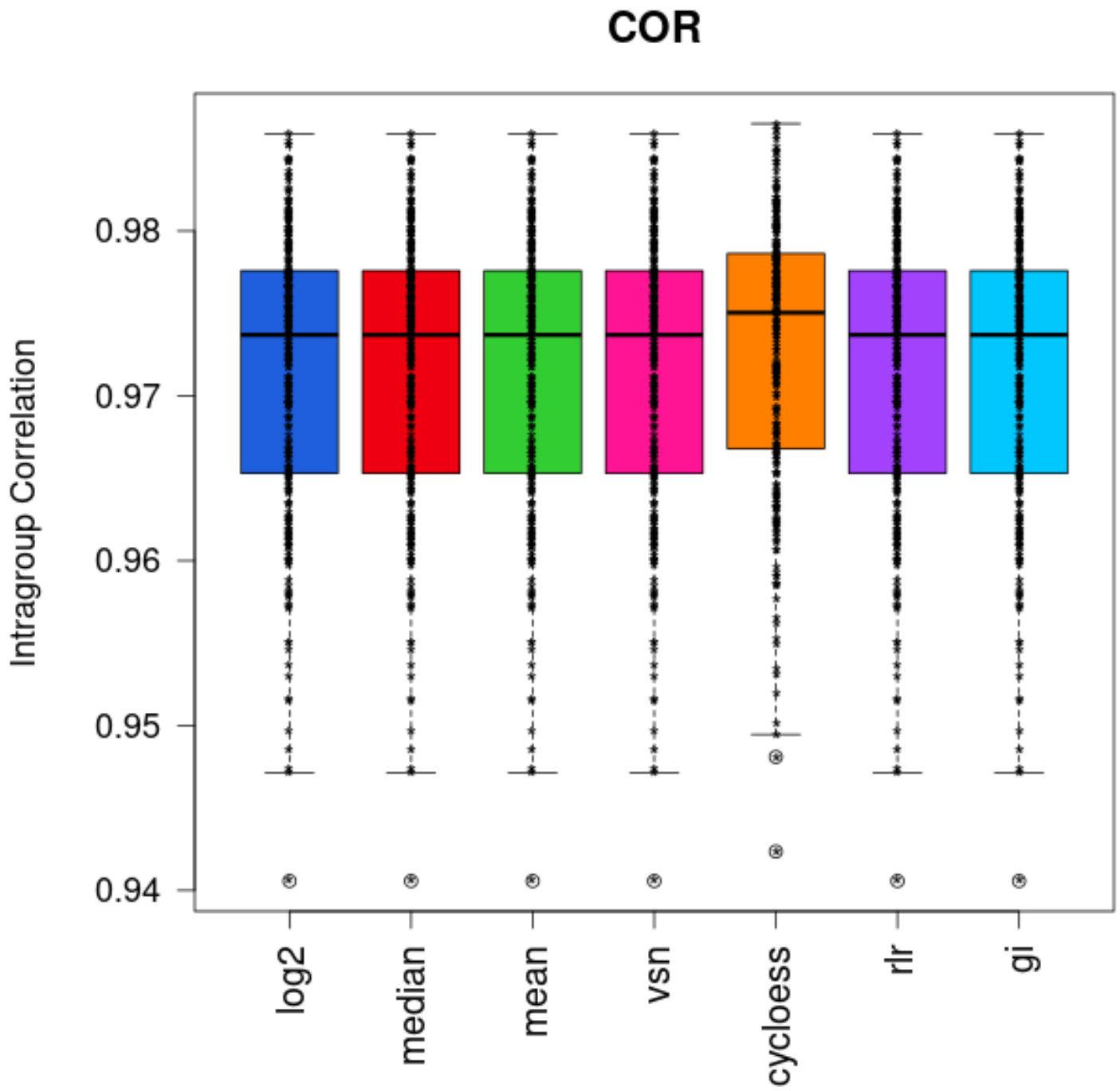
COR
Intragroup Correlation
0.98
0.97
0.96
0.95
0.94
log2
median
mean
vsn
cycloess
rlr
gi

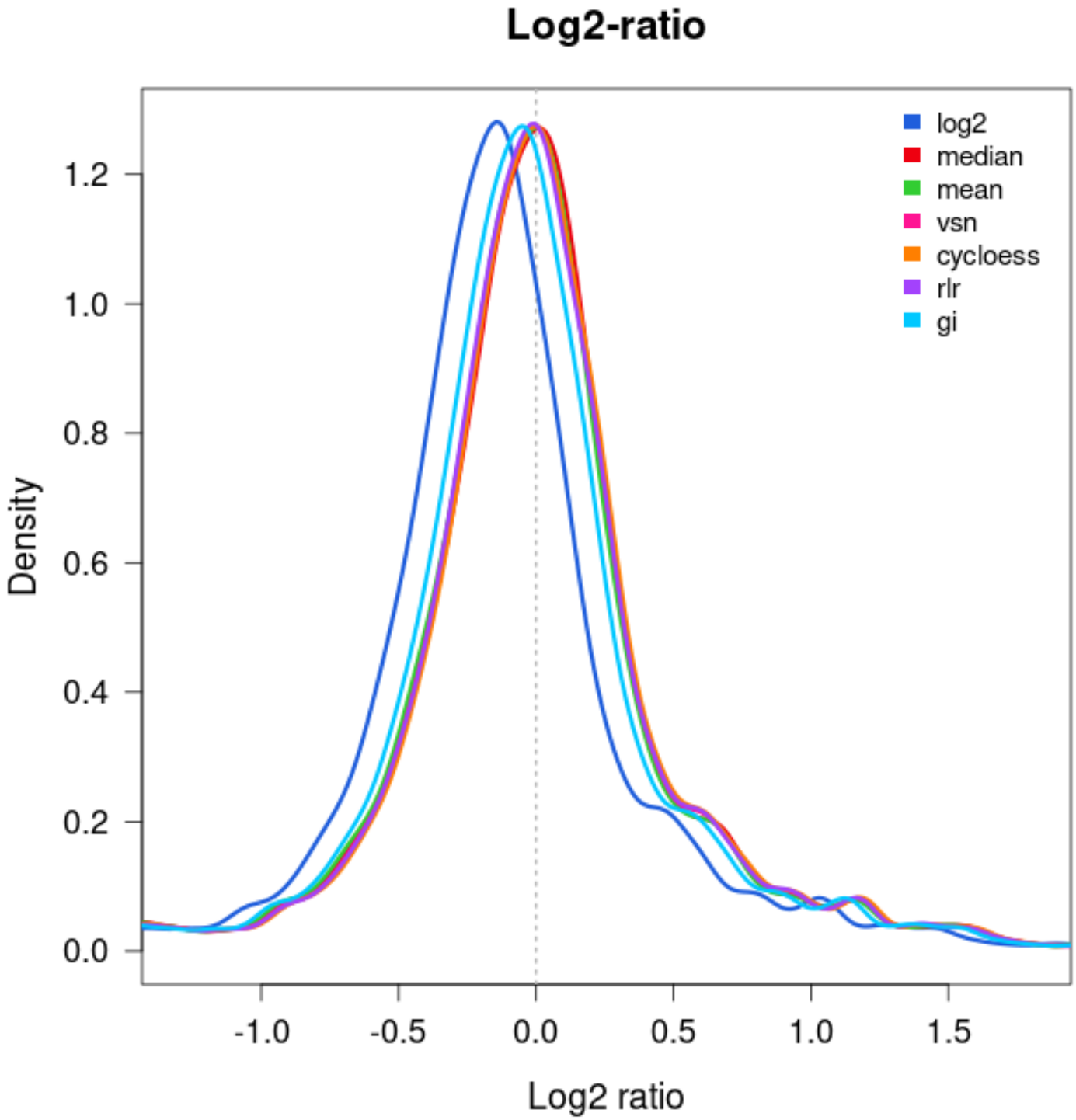
Log2-ratio
log2
median
mean
vsn
cycloess
rlr
gi
Density
0.0
0.2
0.4
0.6
0.8
1.0
1.2
-1.0
-0.5
0.0
0.5
1.0
1.5
Log2 ratio

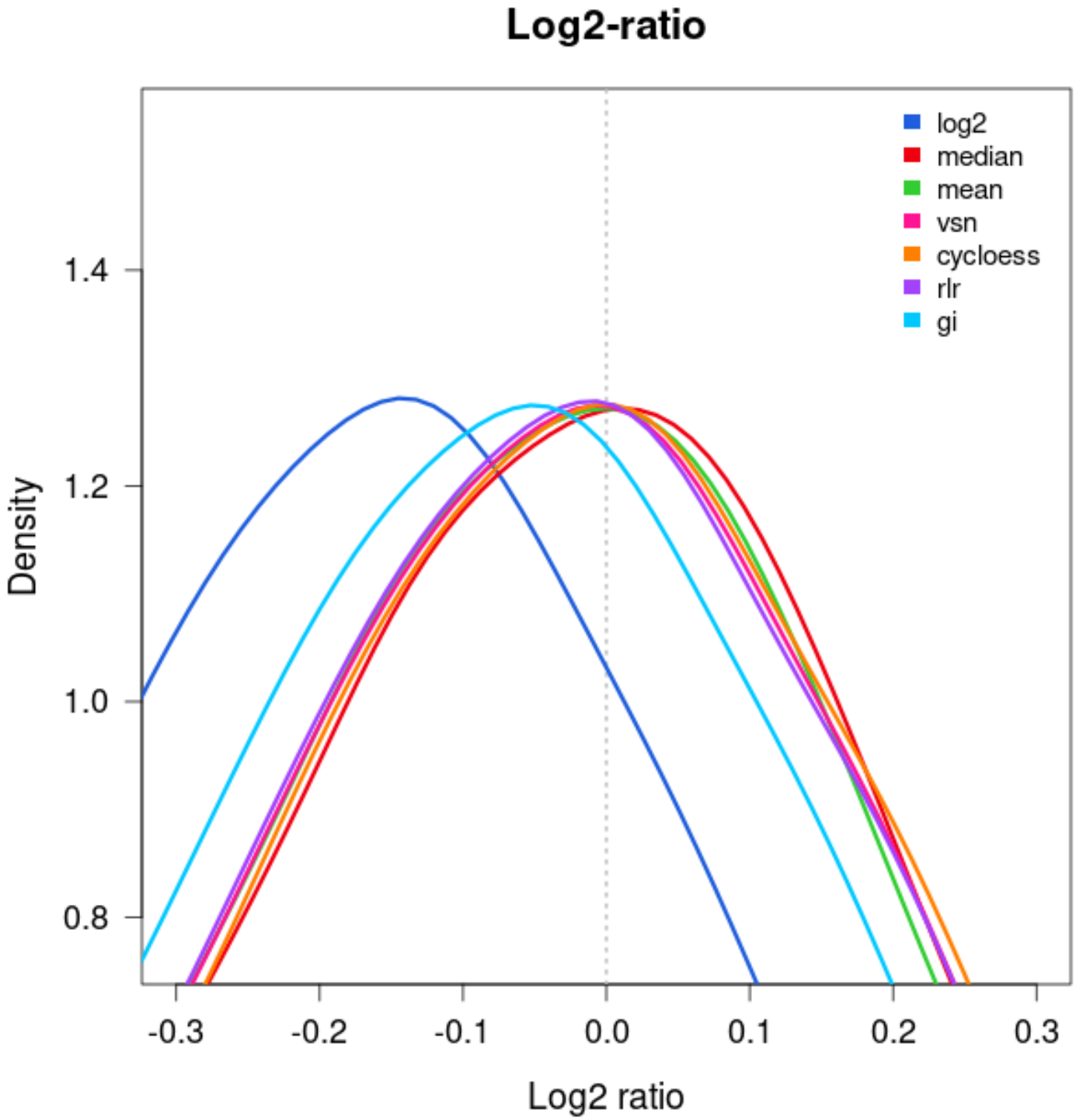
Log2-ratio
log2
median
mean
vsn
cycloess
rlr
gi
Density
1.4
1.2
1.0
0.8
-0.3
-0.2
-0.1
0.0
0.1
0.2
0.3
Log2 ratio

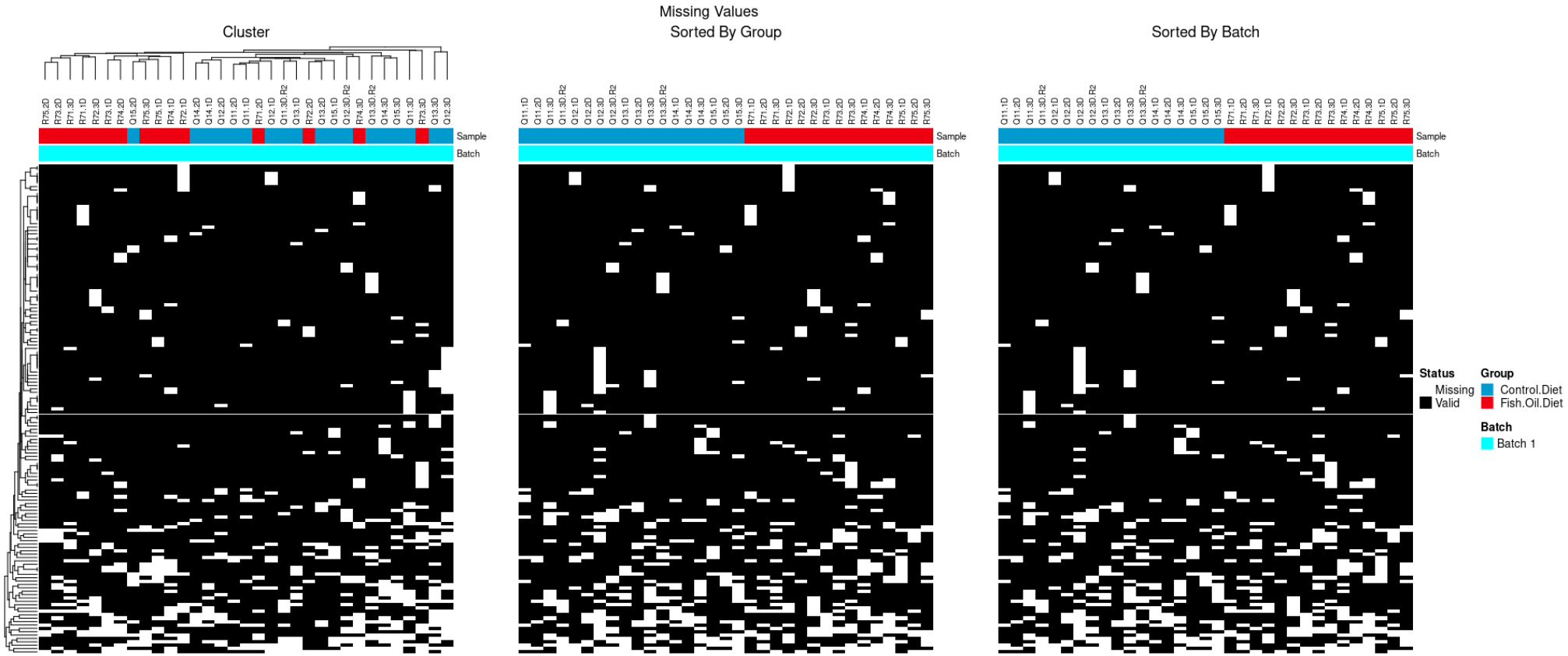
Missing Values
Cluster
Sorted By Group
Sorted By Batch
R75.2D
R73.2D
R71.3D
R71.1D
R72.3D
R73.1D
R74.2D
Q15.2D
R75.3D
R75.1D
R74.1D
R72.1D
Q14.2D
Q14.1D
Q12.2D
Q11.2D
Q11.1D
R71.2D
Q12.1D
Q11.3D.R2
Q13.1D
R72.2D
Q13.2D
Q15.1D
Q12.3D.R2
R74.3D
Q13.3D.R2
Q14.3D
Q15.3D
Q11.3D
R73.3D
Q13.3D
Q12.3D
Q11.1D
Q11.2D
Q11.3D
Q11.3D.R2
Q12.1D
Q12.2D
Q12.3D
Q12.3D.R2
Q13.1D
Q13.2D
Q13.3D
Q13.3D.R2
Q14.1D
Q14.2D
Q14.3D
Q15.1D
Q15.2D
Q15.3D
R71.1D
R71.2D
R71.3D
R72.1D
R72.2D
R72.3D
R73.1D
R73.2D
R73.3D
R74.1D
R74.2D
R74.3D
R75.1D
R75.2D
R75.3D
Sample
Batch
Status
Missing
Valid
Group
Control.Diet
Fish.Oil.Diet
Batch
Batch 1

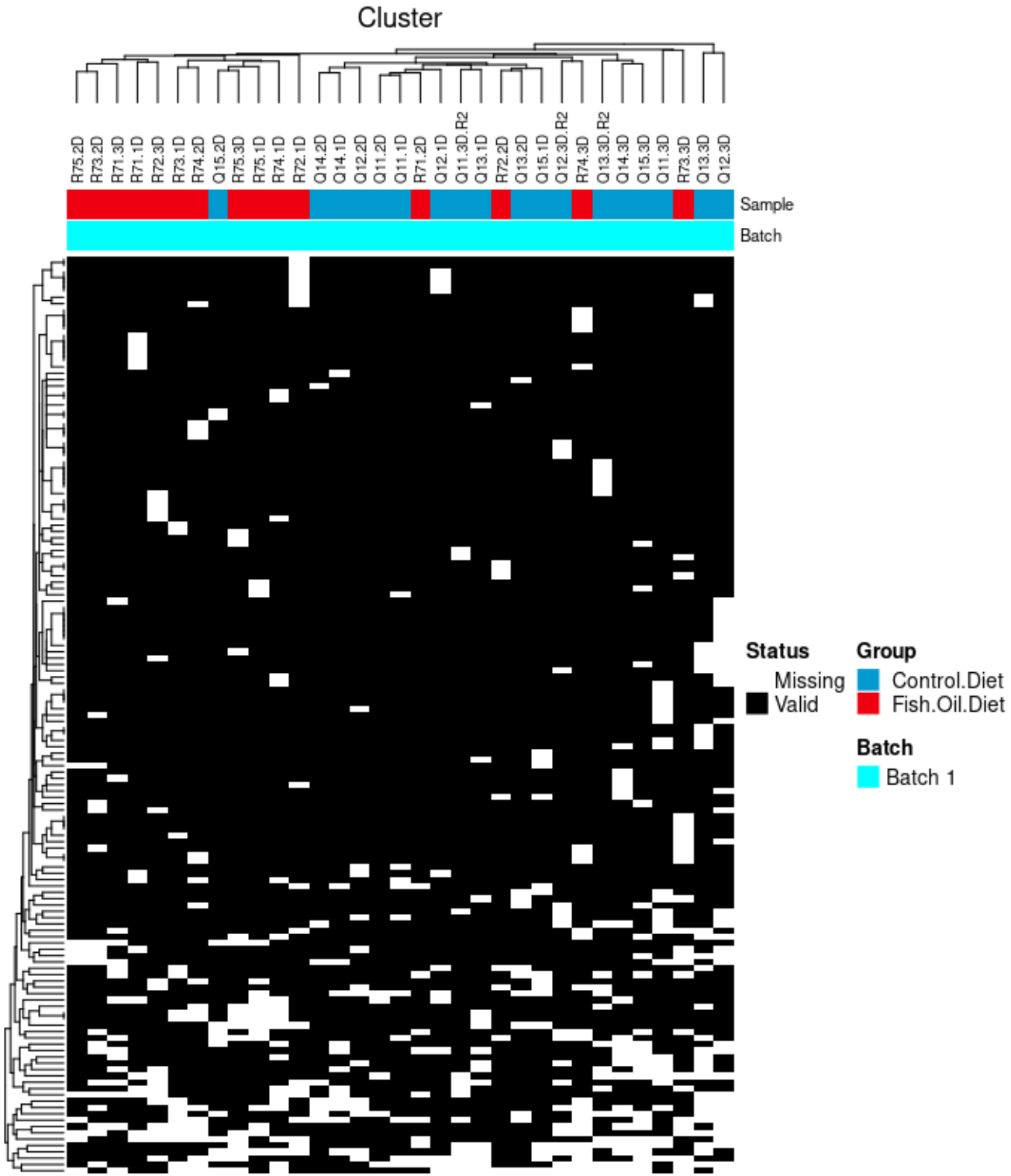
Cluster
R75.2D
R73.2D
R71.3D
R71.1D
R72.3D
R73.1D
R74.2D
Q15.2D
R75.3D
R75.1D
R74.1D
R72.1D
Q14.2D
Q14.1D
Q12.2D
Q11.2D
Q11.1D
R71.2D
Q12.1D
Q11.3D.R2
Q13.1D
R72.2D
Q13.2D
Q15.1D
Q12.3D.R2
R74.3D
Q13.3D.R2
Q14.3D
Q15.3D
Q11.3D
R73.3D
Q13.3D
Q12.3D
Sample
Batch
Status
Missing
Valid
Group
Control.Diet
Fish.Oil.Diet
Batch
Batch 1

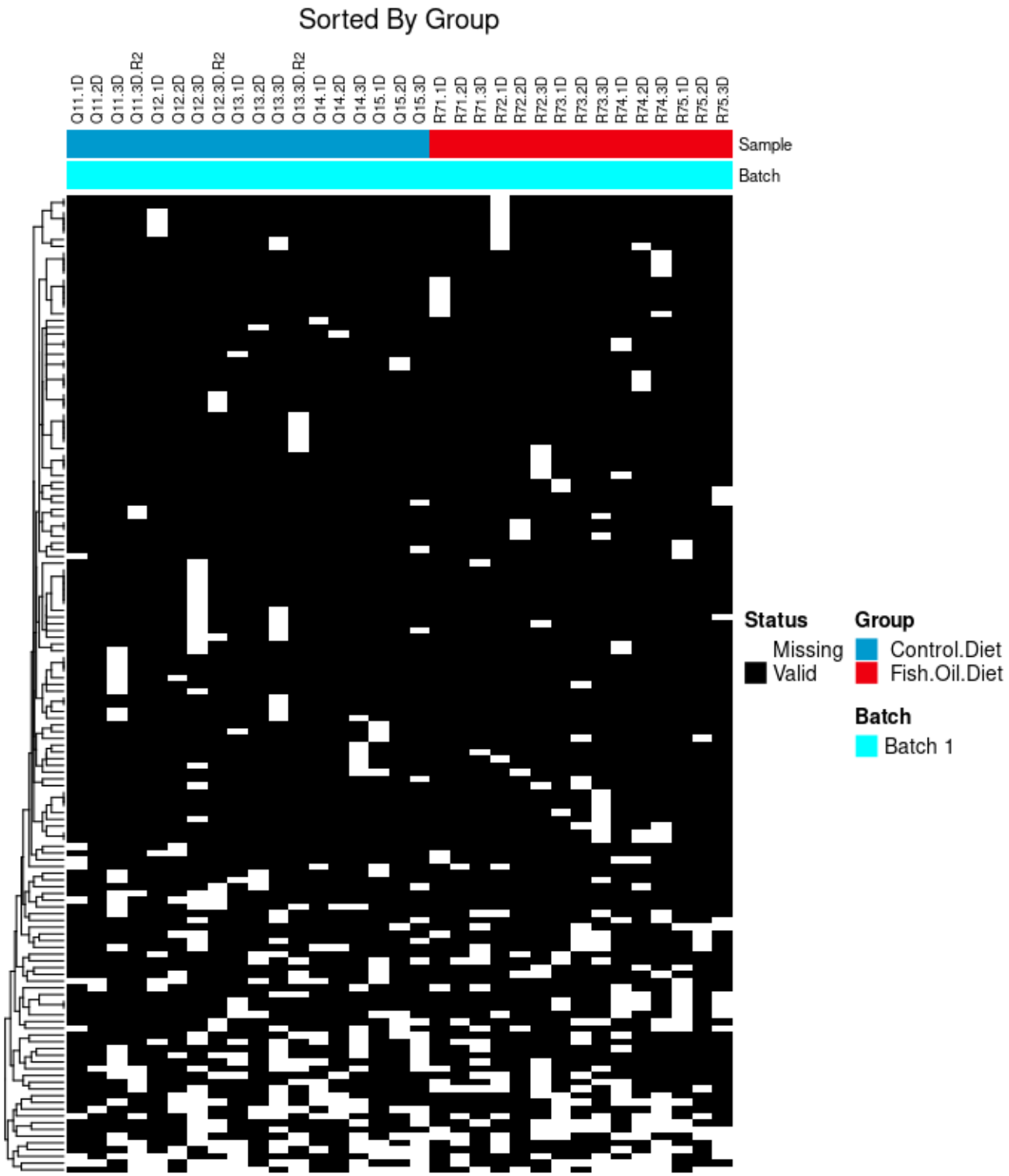
Sorted By Group
Q11.1D
Q11.2D
Q11.3D
Q11.3D.R2
Q12.1D
Q12.2D
Q12.3D
Q12.3D.R2
Q13.1D
Q13.2D
Q13.3D
Q13.3D.R2
Q14.1D
Q14.2D
Q14.3D
Q15.1D
Q15.2D
Q15.3D
R71.1D
R71.2D
R71.3D
R72.1D
R72.2D
R72.3D
R73.1D
R73.2D
R73.3D
R74.1D
R74.2D
R74.3D
R75.1D
R75.2D
R75.3D
Sample
Batch
Status
Missing
Valid
Group
Control.Diet
Fish.Oil.Diet
Batch
Batch 1

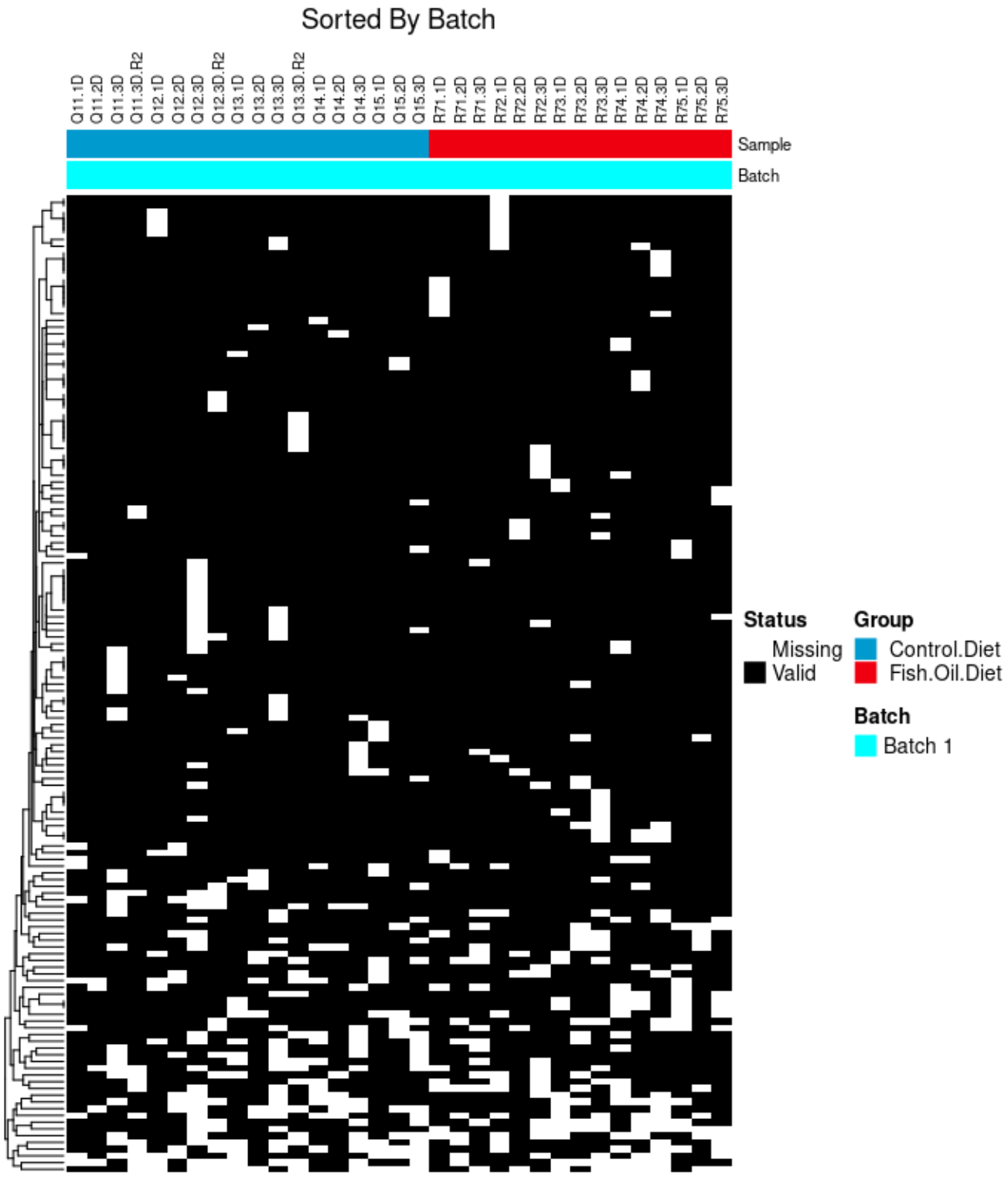
Sorted By Batch
Q11.1D
Q11.2D
Q11.3D
Q11.3D.R2
Q12.1D
Q12.2D
Q12.3D
Q12.3D.R2
Q13.1D
Q13.2D
Q13.3D
Q13.3D.R2
Q14.1D
Q14.2D
Q14.3D
Q15.1D
Q15.2D
Q15.3D
R71.1D
R71.2D
R71.3D
R72.1D
R72.2D
R72.3D
R73.1D
R73.2D
R73.3D
R74.1D
R74.2D
R74.3D
R75.1D
R75.2D
R75.3D
Sample
Batch
Status
Missing
Valid
Group
Control.Diet
Fish.Oil.Diet
Batch
Batch 1

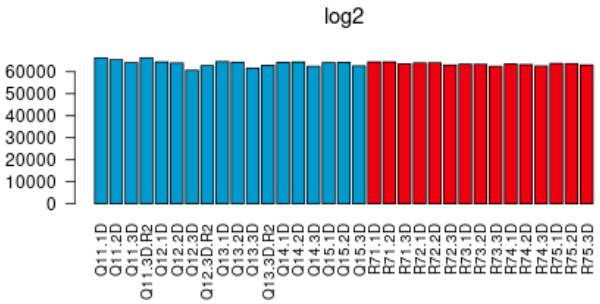
log2
60000
50000
40000
30000
20000
10000
0
Q11.1D
Q11.2D
Q11.3D
Q11.3D.R2
Q12.1D
Q12.2D
Q12.3D
Q12.3D.R2
Q13.1D
Q13.2D
Q13.3D
Q13.3D.R2
Q14.1D
Q14.2D
Q14.3D
Q15.1D
Q15.2D
Q15.3D
R71.1D
R71.2D
R71.3D
R72.1D
R72.2D
R72.3D
R73.1D
R73.2D
R73.3D
R74.1D
R74.2D
R74.3D
R75.1D
R75.2D
R75.3D

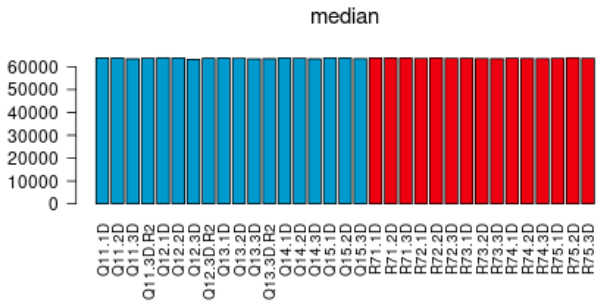
median
60000
50000
40000
30000
20000
10000
0
Q11.1D
Q11.2D
Q11.3D
Q11.3D.R2
Q12.1D
Q12.2D
Q12.3D
Q12.3D.R2
Q13.1D
Q13.2D
Q13.3D
Q13.3D.R2
Q14.1D
Q14.2D
Q14.3D
Q15.1D
Q15.2D
Q15.3D
R71.1D
R71.2D
R71.3D
R72.1D
R72.2D
R72.3D
R73.1D
R73.2D
R73.3D
R74.1D
R74.2D
R74.3D
R75.1D
R75.2D
R75.3D

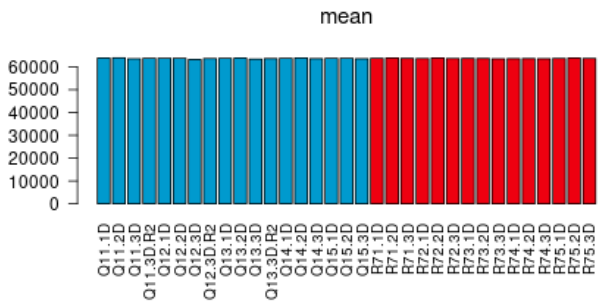
mean
60000
50000
40000
30000
20000
10000
0
Q11.1D
Q11.2D
Q11.3D
Q11.3D.R2
Q12.1D
Q12.2D
Q12.3D
Q12.3D.R2
Q13.1D
Q13.2D
Q13.3D
Q13.3D.R2
Q14.1D
Q14.2D
Q14.3D
Q15.1D
Q15.2D
Q15.3D
R71.1D
R71.2D
R71.3D
R72.1D
R72.2D
R72.3D
R73.1D
R73.2D
R73.3D
R74.1D
R74.2D
R74.3D
R75.1D
R75.2D
R75.3D

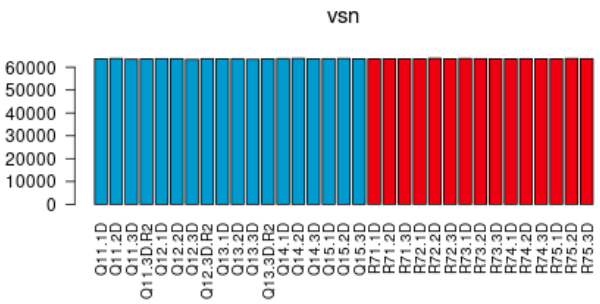
vsn
60000
50000
40000
30000
20000
10000
0
Q11.1D
Q11.2D
Q11.3D
Q11.3D.R2
Q12.1D
Q12.2D
Q12.3D
Q12.3D.R2
Q13.1D
Q13.2D
Q13.3D
Q13.3D.R2
Q14.1D
Q14.2D
Q14.3D
Q15.1D
Q15.2D
Q15.3D
R71.1D
R71.2D
R71.3D
R72.1D
R72.2D
R72.3D
R73.1D
R73.2D
R73.3D
R74.1D
R74.2D
R74.3D
R75.1D
R75.2D
R75.3D

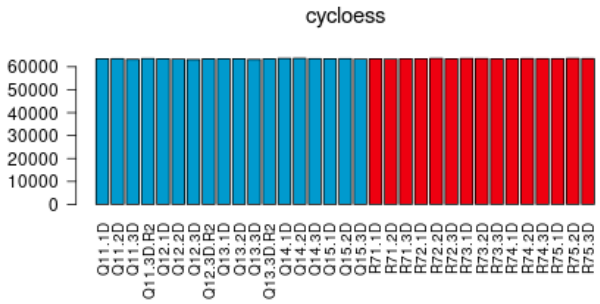
cycloess
60000
50000
40000
30000
20000
10000
0
Q11.1D
Q11.2D
Q11.3D
Q11.3D.R2
Q12.1D
Q12.2D
Q12.3D
Q12.3D.R2
Q13.1D
Q13.2D
Q13.3D
Q13.3D.R2
Q14.1D
Q14.2D
Q14.3D
Q15.1D
Q15.2D
Q15.3D
R71.1D
R71.2D
R71.3D
R72.1D
R72.2D
R72.3D
R73.1D
R73.2D
R73.3D
R74.1D
R74.2D
R74.3D
R75.1D
R75.2D
R75.3D

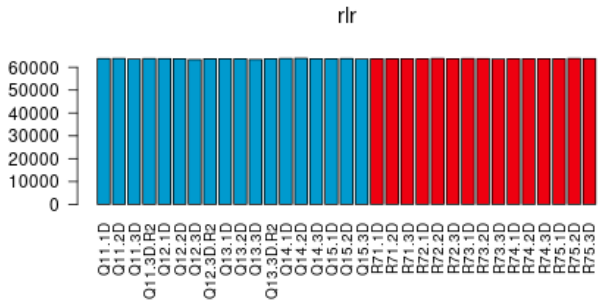
rlr
60000
50000
40000
30000
20000
10000
0
Q11.1D
Q11.2D
Q11.3D
Q11.3D.R2
Q12.1D
Q12.2D
Q12.3D
Q12.3D.R2
Q13.1D
Q13.2D
Q13.3D
Q13.3D.R2
Q14.1D
Q14.2D
Q14.3D
Q15.1D
Q15.2D
Q15.3D
R71.1D
R71.2D
R71.3D
R72.1D
R72.2D
R72.3D
R73.1D
R73.2D
R73.3D
R74.1D
R74.2D
R74.3D
R75.1D
R75.2D
R75.3D

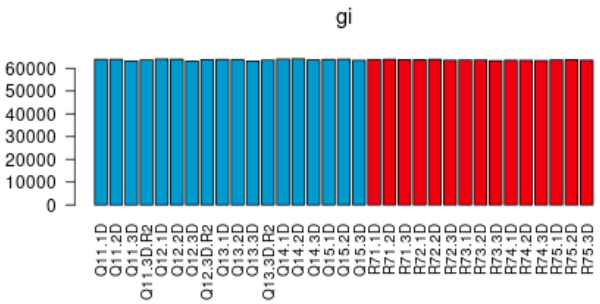
gi
60000
50000
40000
30000
20000
10000
0
Q11.1D
Q11.2D
Q11.3D
Q11.3D.R2
Q12.1D
Q12.2D
Q12.3D
Q12.3D.R2
Q13.1D
Q13.2D
Q13.3D
Q13.3D.R2
Q14.1D
Q14.2D
Q14.3D
Q15.1D
Q15.2D
Q15.3D
R71.1D
R71.2D
R71.3D
R72.1D
R72.2D
R72.3D
R73.1D
R73.2D
R73.3D
R74.1D
R74.2D
R74.3D
R75.1D
R75.2D
R75.3D